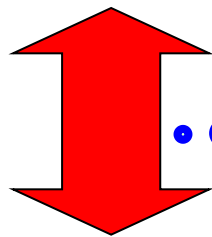


9.5 带状态观测器的状态反馈系统

状态观测器解决了受控系统的状态重构问题，
可使状态反馈系统得以实现。

利用观测器进行状态估值反馈的系统



有何异同？

直接状态反馈系统



9.5.1 带观测器的状态反馈系统的结构



能控能观的受控系统 $\Sigma_0 = (A, B, C)$

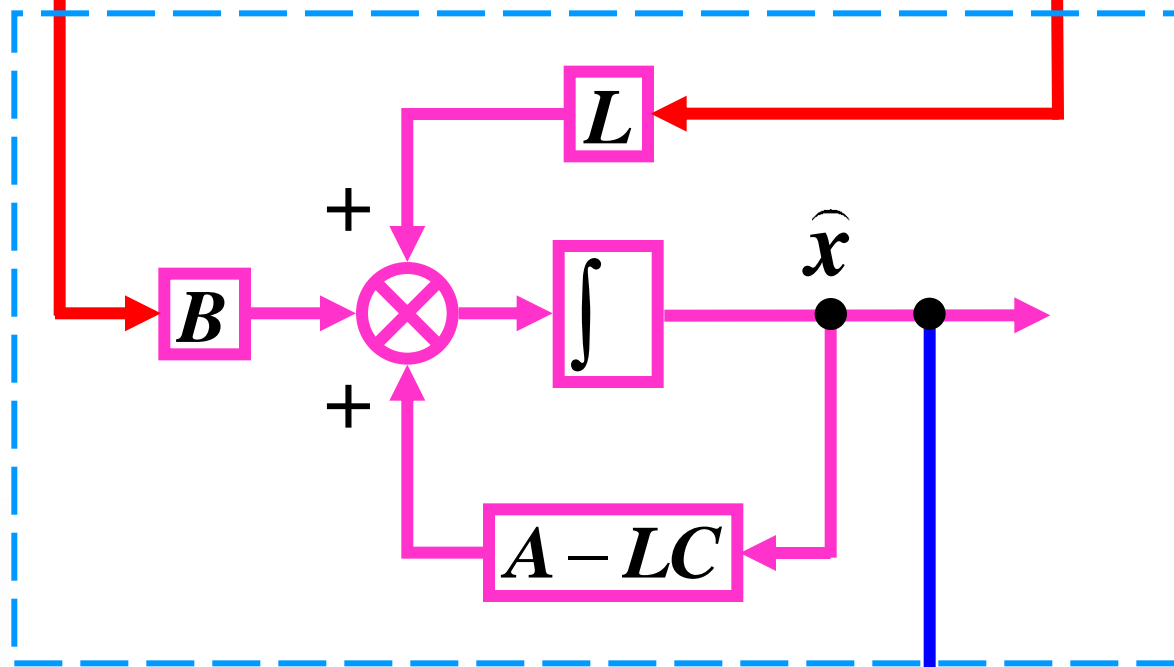
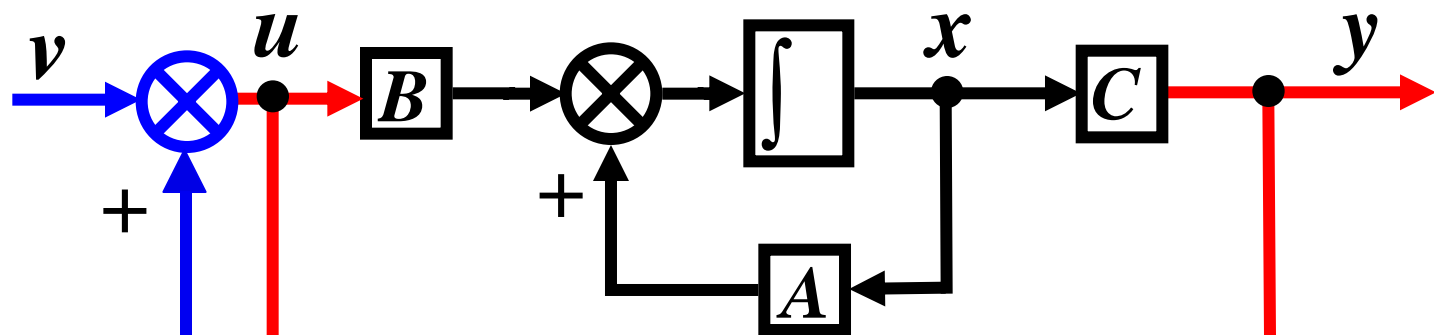
$$\begin{cases} \dot{\mathbf{x}} = \mathbf{A}\mathbf{x} + \mathbf{B}u \\ \mathbf{y} = \mathbf{C}\mathbf{x} \end{cases} \quad (1)$$

状态观测器 Σ_L

$$\begin{cases} \dot{\hat{\mathbf{x}}} = (\mathbf{A} - \mathbf{L}\mathbf{C})\hat{\mathbf{x}} + \mathbf{L}\mathbf{y} + \mathbf{B}u \\ \hat{\mathbf{y}} = \mathbf{C}\hat{\mathbf{x}} \end{cases} \quad (2)$$

反馈控制律

$$u = \mathbf{K}\hat{\mathbf{x}} + v \quad (3)$$



状态观测器

带全维状态观测器的状态反馈闭环系统之模拟结构图

式 (1)、(2)、(3)

$$\dot{\mathbf{x}} = \mathbf{A}\mathbf{x} + \mathbf{B}\mathbf{K}\hat{\mathbf{x}} + \mathbf{B}\mathbf{v}$$

$$\dot{\hat{\mathbf{x}}} = \mathbf{L}\mathbf{C}\mathbf{x} + (\mathbf{A} - \mathbf{L}\mathbf{C} + \mathbf{B}\mathbf{K})\hat{\mathbf{x}} + \mathbf{B}\mathbf{v}$$

$$\mathbf{y} = \mathbf{C}\mathbf{x}$$

$2n$ 维的闭环控制系统 Σ_{LK}

$$\begin{cases} \begin{bmatrix} \dot{\mathbf{x}} \\ \dot{\hat{\mathbf{x}}} \end{bmatrix} = \begin{bmatrix} \mathbf{A} & \mathbf{B}\mathbf{K} \\ \mathbf{L}\mathbf{C} & \mathbf{A} - \mathbf{L}\mathbf{C} + \mathbf{B}\mathbf{K} \end{bmatrix} \begin{bmatrix} \mathbf{x} \\ \hat{\mathbf{x}} \end{bmatrix} + \begin{bmatrix} \mathbf{B} \\ \mathbf{B} \end{bmatrix} \mathbf{v} \\ \mathbf{y} = [\mathbf{C} \quad \mathbf{0}] \begin{bmatrix} \mathbf{x} \\ \hat{\mathbf{x}} \end{bmatrix} \end{cases}$$

$\Sigma_{\text{LK}} (\mathbf{A}_c, \mathbf{B}_c, \mathbf{C}_c)$



9.5.2 带观测器的闭环系统的基本特性



一. 闭环极点配置的分离性

闭环系统的极点包括由 Σ_0 直接状态反馈系统

$\Sigma_K = (A + BK, B, C)$ 的极点和观测器 Σ_L 的极点两部分。

但是两者相互独立，可以分离进行。



状态估计误差

$$\tilde{\mathbf{x}} = \mathbf{x} - \hat{\mathbf{x}}$$

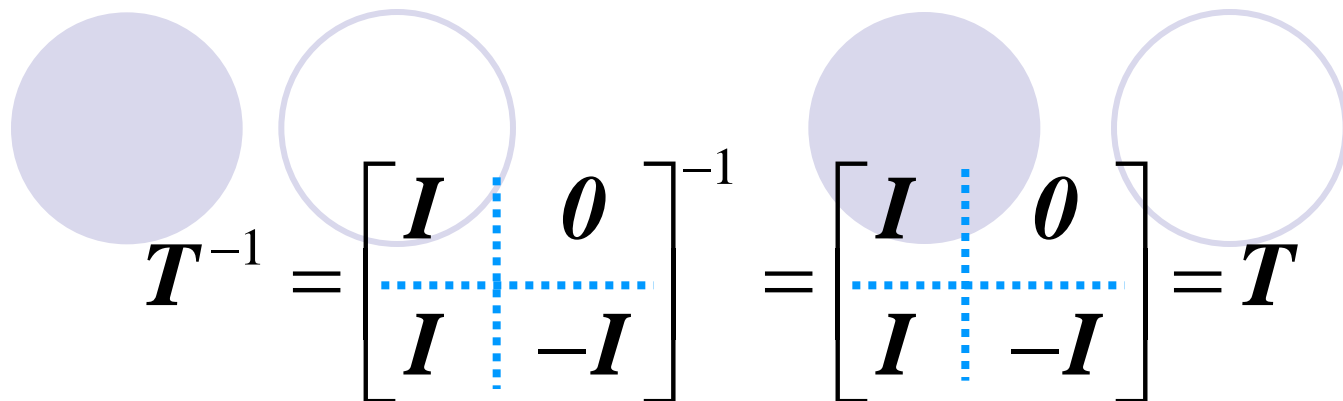
引入等效变换

$$\left[\begin{array}{c|c} \mathbf{I} & \mathbf{0} \\ \hline \mathbf{I} & -\mathbf{I} \end{array} \right] \left[\begin{array}{c} \mathbf{x} \\ \hat{\mathbf{x}} \end{array} \right] = \left[\begin{array}{c} \mathbf{x} \\ \mathbf{x} - \hat{\mathbf{x}} \end{array} \right] = \left[\begin{array}{c} \mathbf{x} \\ \tilde{\mathbf{x}} \end{array} \right]$$

令变换矩阵为

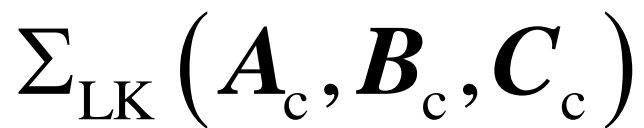
$$\mathbf{T} = \left[\begin{array}{c|c} \mathbf{I} & \mathbf{0} \\ \hline \mathbf{I} & -\mathbf{I} \end{array} \right]$$



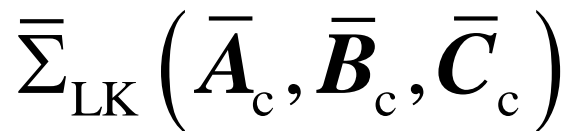


$$\mathbf{T}^{-1} = \begin{bmatrix} \mathbf{I} & \mathbf{0} \\ \mathbf{I} & -\mathbf{I} \end{bmatrix}^{-1} = \begin{bmatrix} \mathbf{I} & \mathbf{0} \\ \mathbf{I} & -\mathbf{I} \end{bmatrix} = \mathbf{T}$$





$$\Sigma_{\text{LK}}(\mathbf{A}_c, \mathbf{B}_c, \mathbf{C}_c)$$



$$\bar{\Sigma}_{\text{LK}}(\bar{\mathbf{A}}_c, \bar{\mathbf{B}}_c, \bar{\mathbf{C}}_c)$$

$$\bar{A}_c = T^{-1} A_c T$$

$$= \begin{bmatrix} I & 0 \\ I & -I \end{bmatrix} \begin{bmatrix} A & BK \\ LC & A - LC + BK \end{bmatrix} \begin{bmatrix} I & 0 \\ I & -I \end{bmatrix}$$

$$= \begin{bmatrix} A + BK & BK \\ 0 & A - LC \end{bmatrix}$$



$$\bar{B}_c = T^{-1} B_c$$

$$= \begin{bmatrix} I & 0 \\ I & -I \end{bmatrix} \begin{bmatrix} B \\ B \end{bmatrix} = \begin{bmatrix} B \\ 0 \end{bmatrix}$$



$$\bar{C}_c = C_c T$$

$$= [C \quad 0] \begin{bmatrix} I & 0 \\ I & -I \end{bmatrix}$$

$$= [C \quad 0]$$

$$\bar{A}_c = \begin{bmatrix} A + BK & BK \\ 0 & A - LC \end{bmatrix}$$

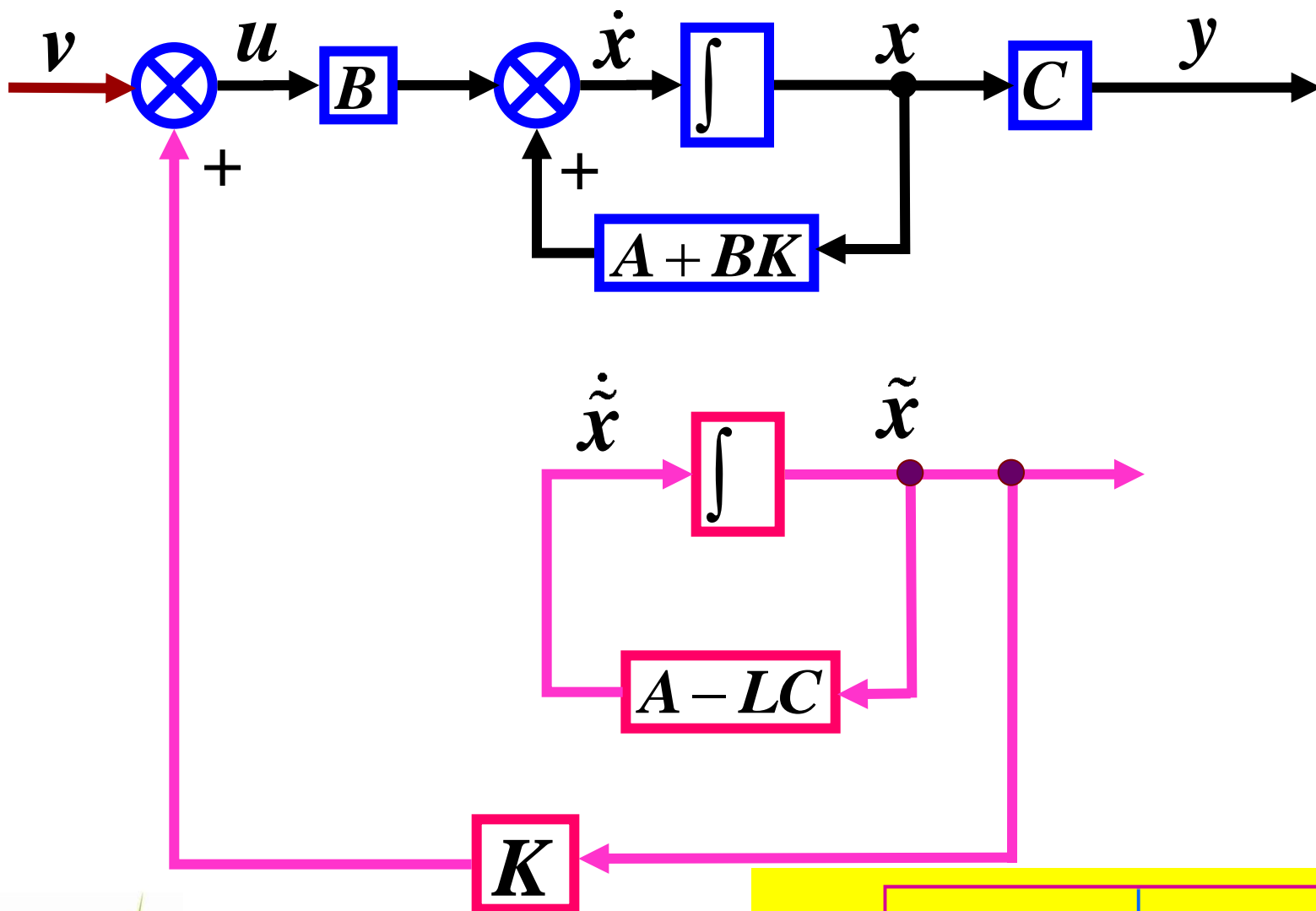
$$\bar{B}_c = \begin{bmatrix} B \\ 0 \end{bmatrix}$$

$$\bar{C}_c = [C \quad 0]$$



$$\begin{cases} \dot{x} = (A + BK)x & + & BK\tilde{x} & + & Bv \\ \dot{\tilde{x}} = & & (A - LC)\tilde{x} & & \\ y = & Cx & & & \end{cases}$$


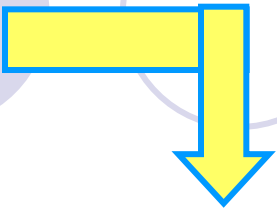
$$\bar{\Sigma}_{LK}(\bar{A}_c, \bar{B}_c, \bar{C}_c)$$



带观测器状态反馈系统的等效模拟结构图

$$\begin{cases} \dot{x} = (A+BK)x & + & BK\tilde{x} & + & Bv \\ \dot{\tilde{x}} = & & (A-LC)\tilde{x} & & \\ y = & Cx & & & \end{cases}$$





线性变换  特征多项式不变 

$$\det(\lambda \mathbf{I} - \mathbf{A}_c) = \det(\lambda \mathbf{I} - \bar{\mathbf{A}}_c)$$

$$= \det \left[\begin{array}{c|c} \lambda \mathbf{I} - (\mathbf{A} + \mathbf{BK}) & -\mathbf{BK} \\ \hline \mathbf{0} & \lambda \mathbf{I} - (\mathbf{A} - \mathbf{LC}) \end{array} \right]$$

$$= \det[\lambda \mathbf{I} - (\mathbf{A} + \mathbf{BK})] \det[\lambda \mathbf{I} - (\mathbf{A} - \mathbf{LC})]$$


$$(\mathbf{A} + \mathbf{BK})$$


$$(\mathbf{A} - \mathbf{LC})$$

由观测器构成状态反馈的闭环系统的极点等于直接状态反馈 $(A + BK)$ 的极点和状态观测器 $(A - LC)$ 的极点之总和，而且两者相互独立。

因此，只要系统 $\Sigma_0 = (A, B, C)$ 的状态能控、能观，则系统的状态反馈矩阵 K 和观测器增益矩阵 L 可分别进行设计。这个性质称为闭环极点配置的**分离性**，也称为线性系统的**分离原理**。



二. 传递函数矩阵的不变性



由观测器构成的状态反馈系统和状态直接反馈系统
具有相同的传递函数矩阵。

分块矩阵求逆公式

$$Q = \begin{bmatrix} R & S \\ 0 & T \end{bmatrix}$$



$$Q^{-1} = \begin{bmatrix} R & S \\ 0 & T \end{bmatrix}^{-1} = \begin{bmatrix} R^{-1} & -R^{-1}ST^{-1} \\ 0 & T^{-1} \end{bmatrix}$$

$\bar{\Sigma}_{\text{LK}}(\bar{A}_c, \bar{B}_c, \bar{C}_c)$ 的传递函数矩阵:

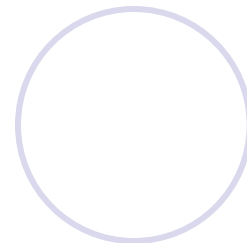
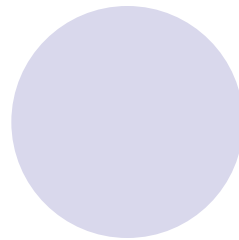
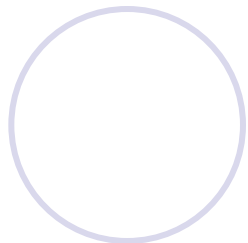
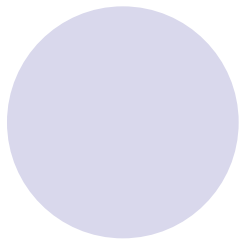
$$W(s) = \bar{C}_c (sI - \bar{A}_c)^{-1} \bar{B}_c$$

$$= [C \quad 0] \begin{bmatrix} sI - (A + BK) & -BK \\ 0 & sI - (A - LC) \end{bmatrix}^{-1} \begin{bmatrix} B \\ 0 \end{bmatrix}$$

$$= [C \quad 0] \begin{bmatrix} [sI - (A + BK)]^{-1} & [sI - (A + BK)]^{-1} BK [sI - (A - LC)]^{-1} \\ 0 & [sI - (A - LC)]^{-1} \end{bmatrix} \begin{bmatrix} B \\ 0 \end{bmatrix}$$

$$= C [sI - (A + BK)]^{-1} B$$





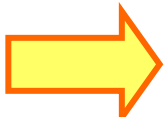
事实上，由观测器构成的状态反馈闭环系统是不完全能控的。但是由于不能控的分状态是估计误差 $\tilde{\mathbf{x}}$ ，所以这种不完全能控性并不影响系统的正常工作。



三. 观测器反馈与直接状态反馈的等效性



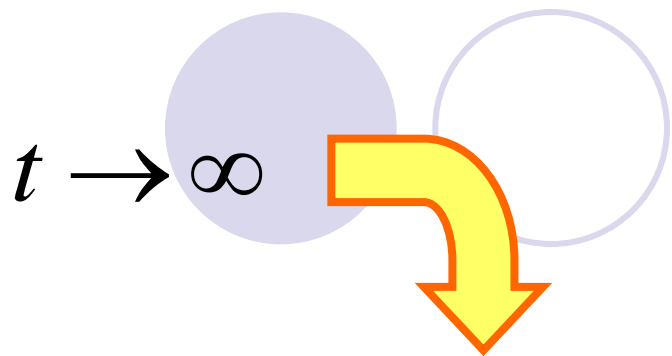
$$\begin{cases} \dot{\mathbf{x}} = (\mathbf{A} + \mathbf{BK})\mathbf{x} + \mathbf{BK}\tilde{\mathbf{x}} + \mathbf{B}\mathbf{v} \\ \dot{\tilde{\mathbf{x}}} = (\mathbf{A} - \mathbf{LC})\tilde{\mathbf{x}} \\ \mathbf{y} = \mathbf{C}\mathbf{x} \end{cases}$$

选择 \mathbf{L}  $(\mathbf{A} - \mathbf{LC})$ 的特征值均具有负实部



$$\lim_{t \rightarrow \infty} \tilde{\mathbf{x}} = \mathbf{0}$$





$$\begin{cases} \dot{\mathbf{x}} = (\mathbf{A} + \mathbf{BK})\mathbf{x} + \mathbf{BK}\tilde{\mathbf{x}} + \mathbf{B}\mathbf{v} \\ \dot{\tilde{\mathbf{x}}} = (\mathbf{A} - \mathbf{LC})\tilde{\mathbf{x}} \\ \mathbf{y} = \mathbf{C}\mathbf{x} \end{cases}$$

$$\dot{\mathbf{x}} = (\mathbf{A} + \mathbf{BK})\mathbf{x} + \mathbf{B}\mathbf{v}$$

$$\mathbf{y} = \mathbf{C}\mathbf{x}$$

这表明，带观测器的状态反馈系统只有当 $t \rightarrow \infty$ ，即进入稳态时，才会与直接状态反馈系统完全等价。

但是可以通过选择 \mathbf{L} 来加速 $\tilde{\mathbf{x}} \rightarrow \mathbf{0}$ ，即

$\hat{\mathbf{x}}$ 渐近于 \mathbf{x} 的速度。

9.5.3 带观测器的闭环系统设计举例



【例9-14】受控系统的模型

$$W_0(s) = \frac{1}{s(s+6)}$$

假定该系统的两个状态在物理上不可测量，试设计适当的状态反馈控制律及状态观测器，并对闭环系统进行数字仿真。



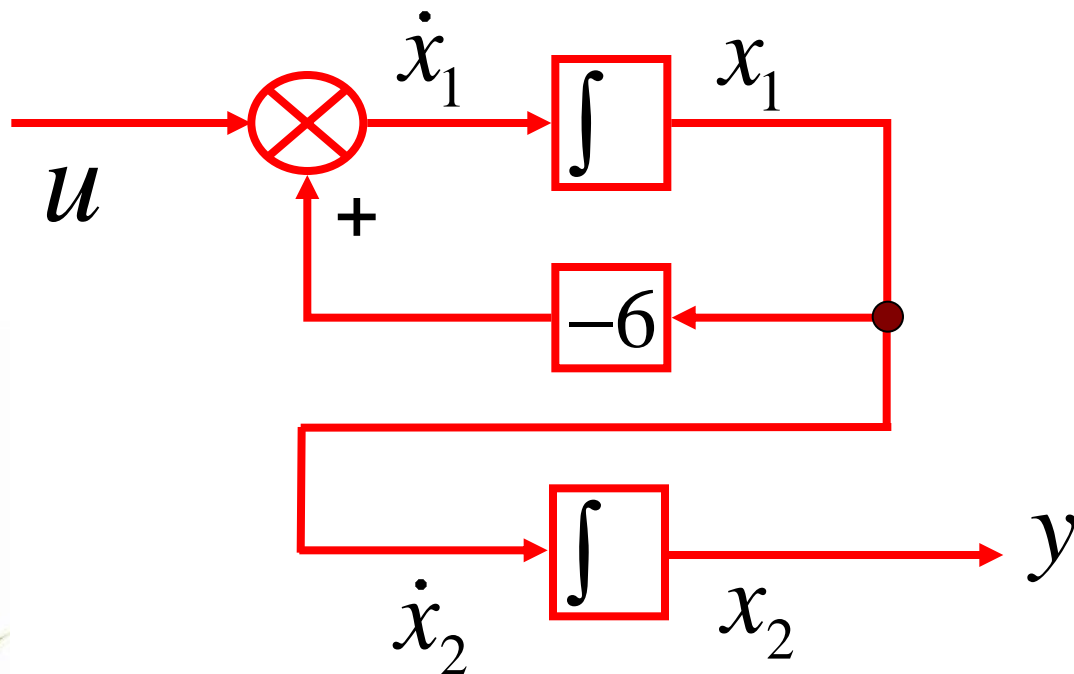
【解】

$$A = \begin{bmatrix} -6 & 0 \\ 1 & 0 \end{bmatrix}$$

$$b = \begin{bmatrix} 1 \\ 0 \end{bmatrix}$$

$$c = \begin{bmatrix} 0 & 1 \end{bmatrix}$$

$$d = 0$$



开环系统状态结构图



假定期望闭环极点为

$$\lambda_1 = -4 + 6j$$

$$\lambda_2 = -4 - 6j$$

则可设计状态反馈矩阵

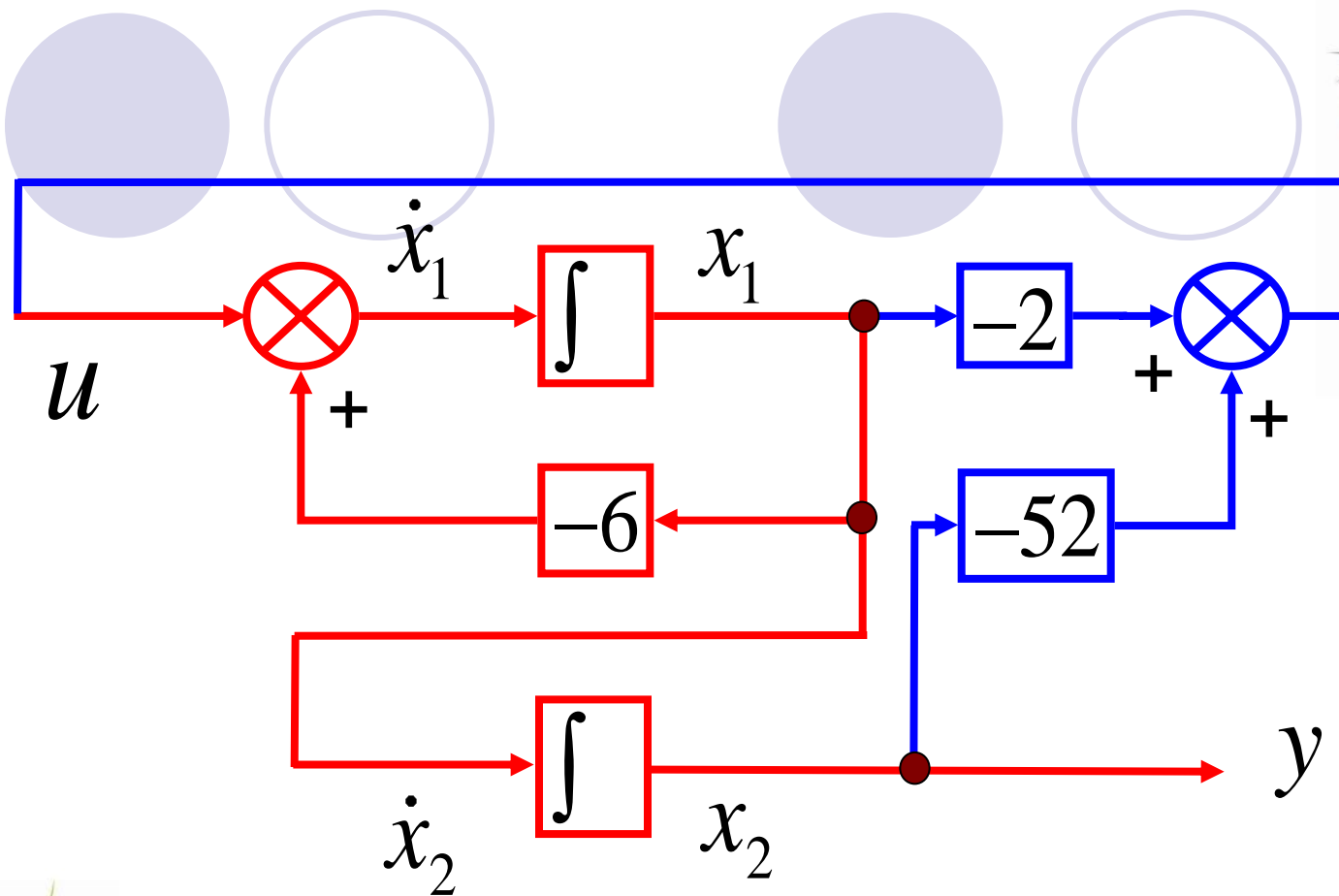
$$\mathbf{K} = [-2 \quad -52]$$

即得反馈控制律

$$u = \mathbf{K}x$$

如果系统的状态物理可测，那么闭环系统的结构为





闭环系统状态结构图

实际上该系统的两个状态在物理上不可测量，
所以需要设计状态观测器：

$$\dot{\hat{\mathbf{x}}} = (\mathbf{A} - \mathbf{L}\mathbf{c})\hat{\mathbf{x}} + \mathbf{L}y + \mathbf{b}u$$

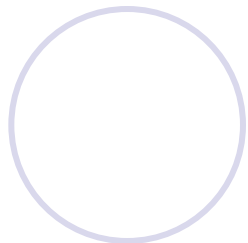
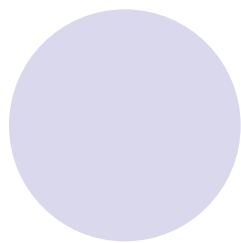
假定期望观测器极点为

$$\hat{\lambda}_1 = -10, \quad \hat{\lambda}_2 = -12$$

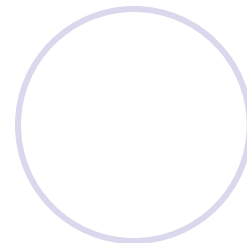
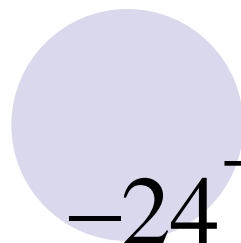
可以求得观测器反馈矩阵

$$\mathbf{L} = \begin{bmatrix} 24 \\ 16 \end{bmatrix}$$





$$\mathbf{A} - \mathbf{L}\mathbf{c} = \begin{bmatrix} -6 & -24 \\ 1 & -16 \end{bmatrix}$$



状态观测器:

$$\dot{\hat{\mathbf{x}}} = \begin{bmatrix} -6 & -24 \\ 1 & -16 \end{bmatrix} \hat{\mathbf{x}} + \begin{bmatrix} 24 \\ 16 \end{bmatrix} y + \begin{bmatrix} 1 \\ 0 \end{bmatrix} u$$



带有观测器的闭环系统状态空间表达式为

$$\dot{x}_1 = -6x_1 + u$$

$$\dot{x}_2 = x_1$$

$$\dot{\hat{x}}_1 = -6\hat{x}_1 - 24\hat{x}_2 + 24y + u$$

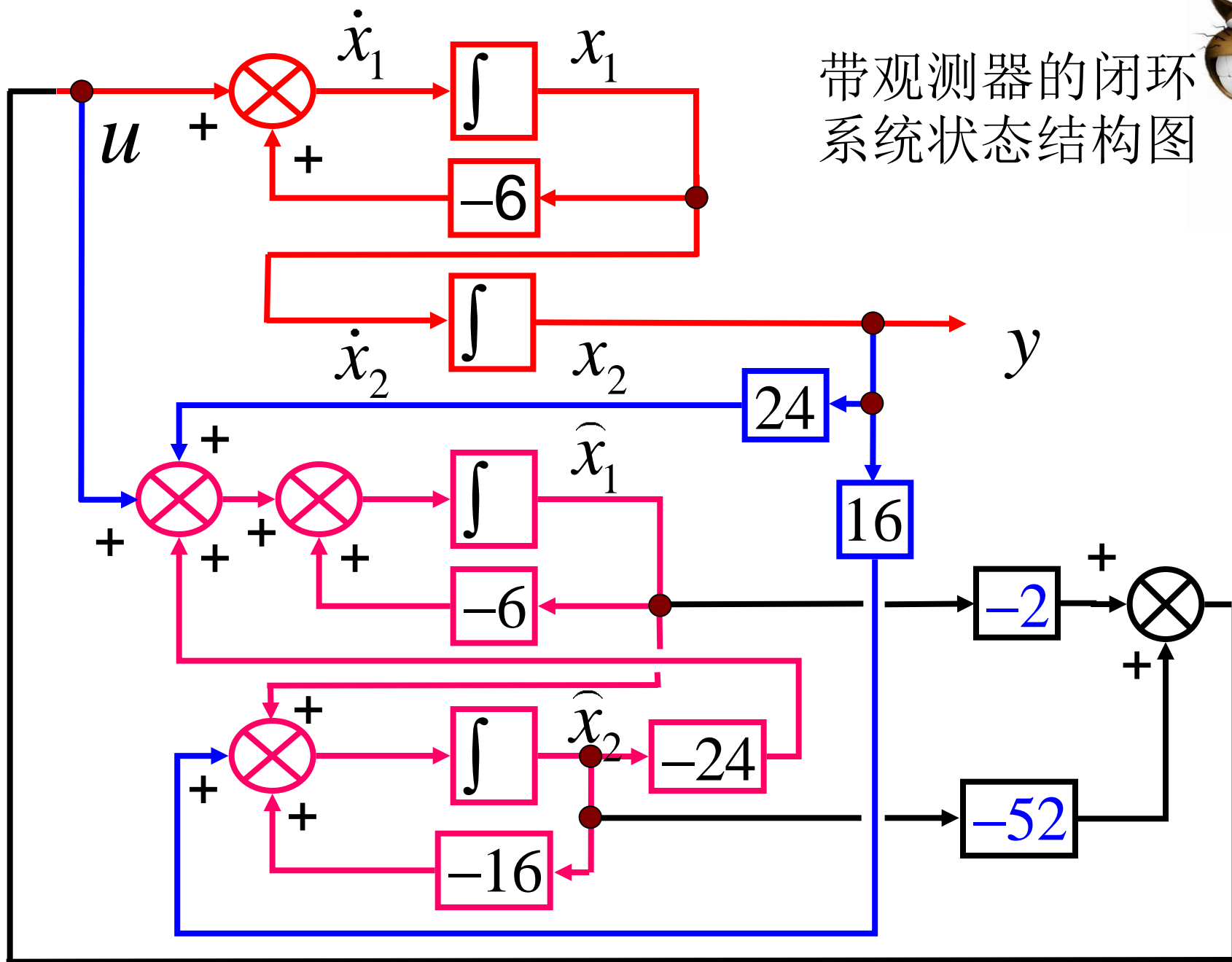
$$\dot{\hat{x}}_2 = \hat{x}_1 - 16\hat{x}_2 + 16y$$

$$y = x_2$$

$$u = -2\hat{x}_1 - 52\hat{x}_2$$



带观测器的闭环
系统状态结构图



闭环系统的数字仿真

假定原系统的初始状态为

$$x_1(0) = -2$$

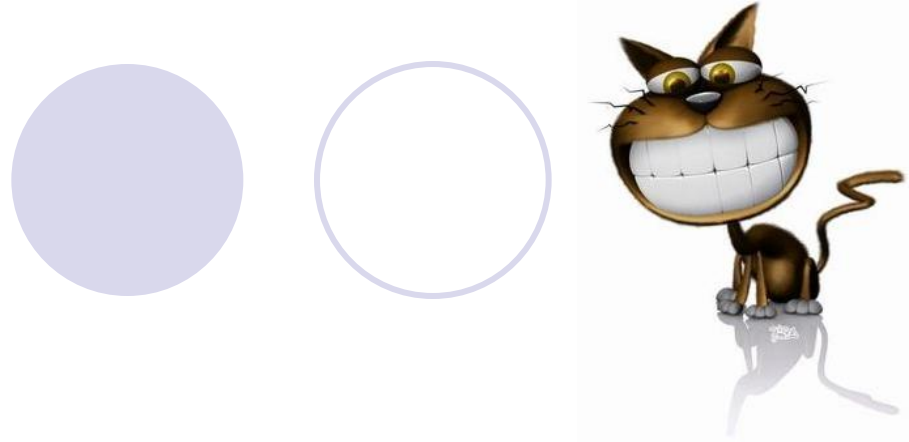
$$x_2(0) = 3$$

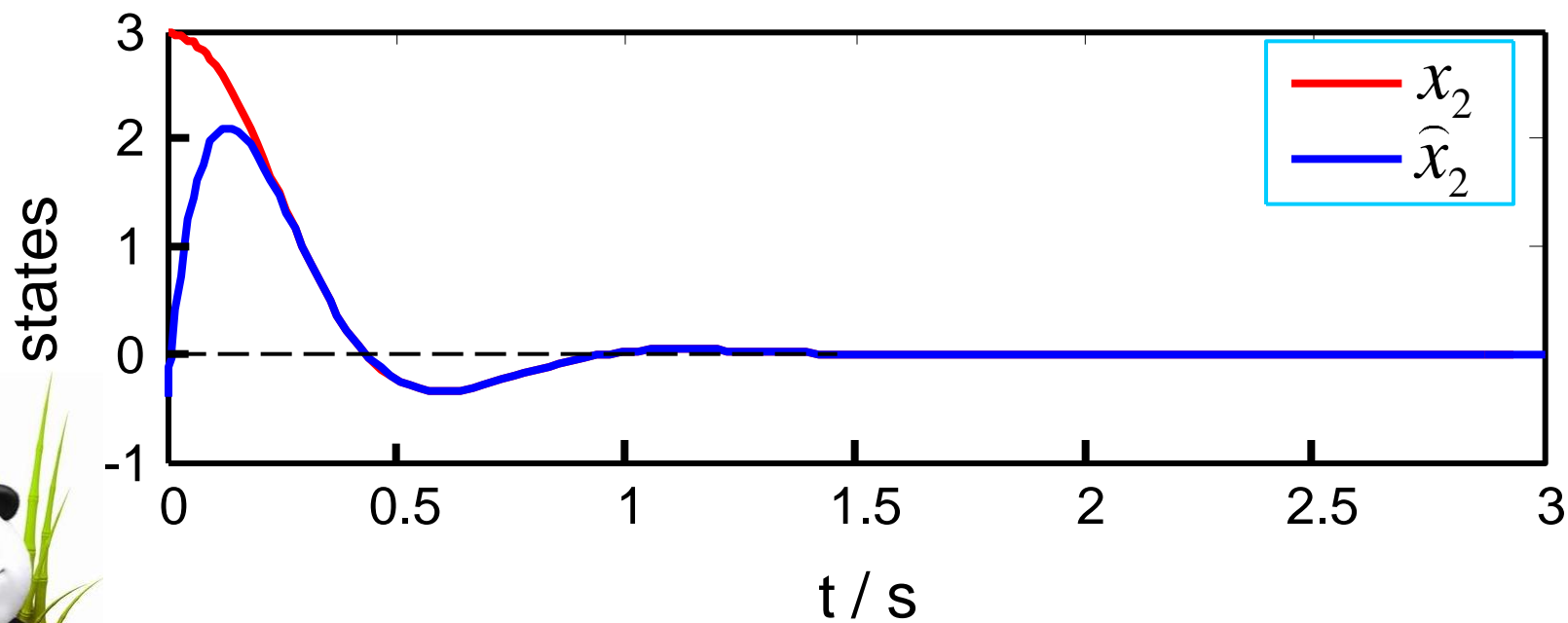
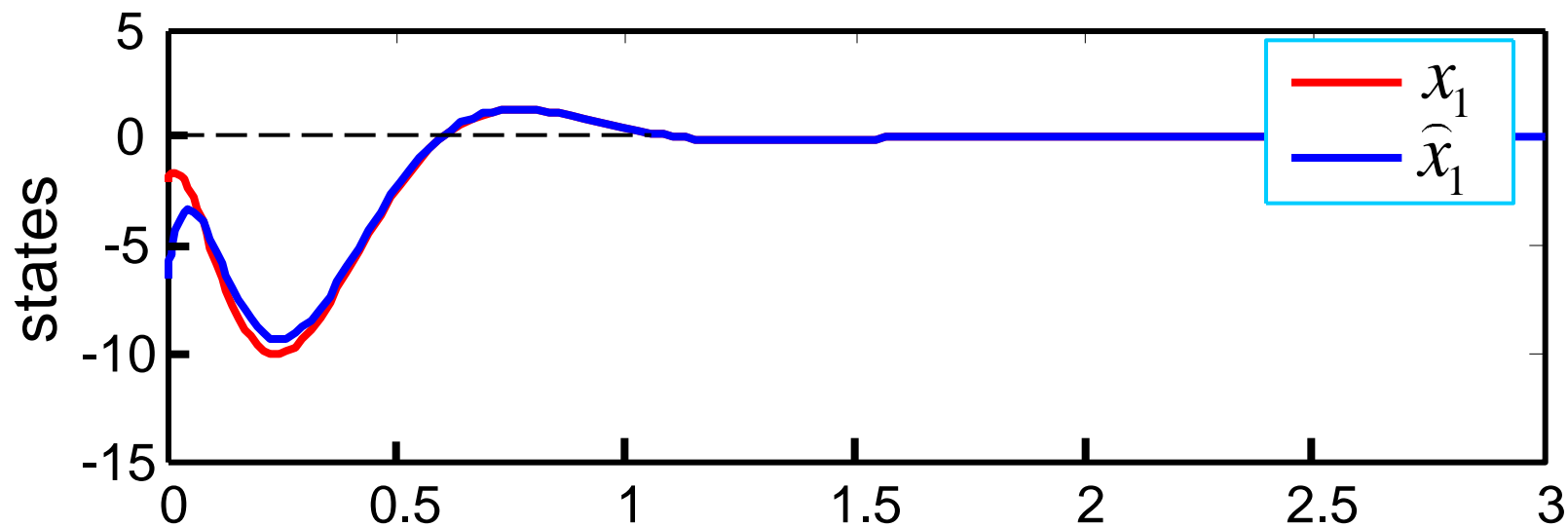
假定状态观测器的初始状态为

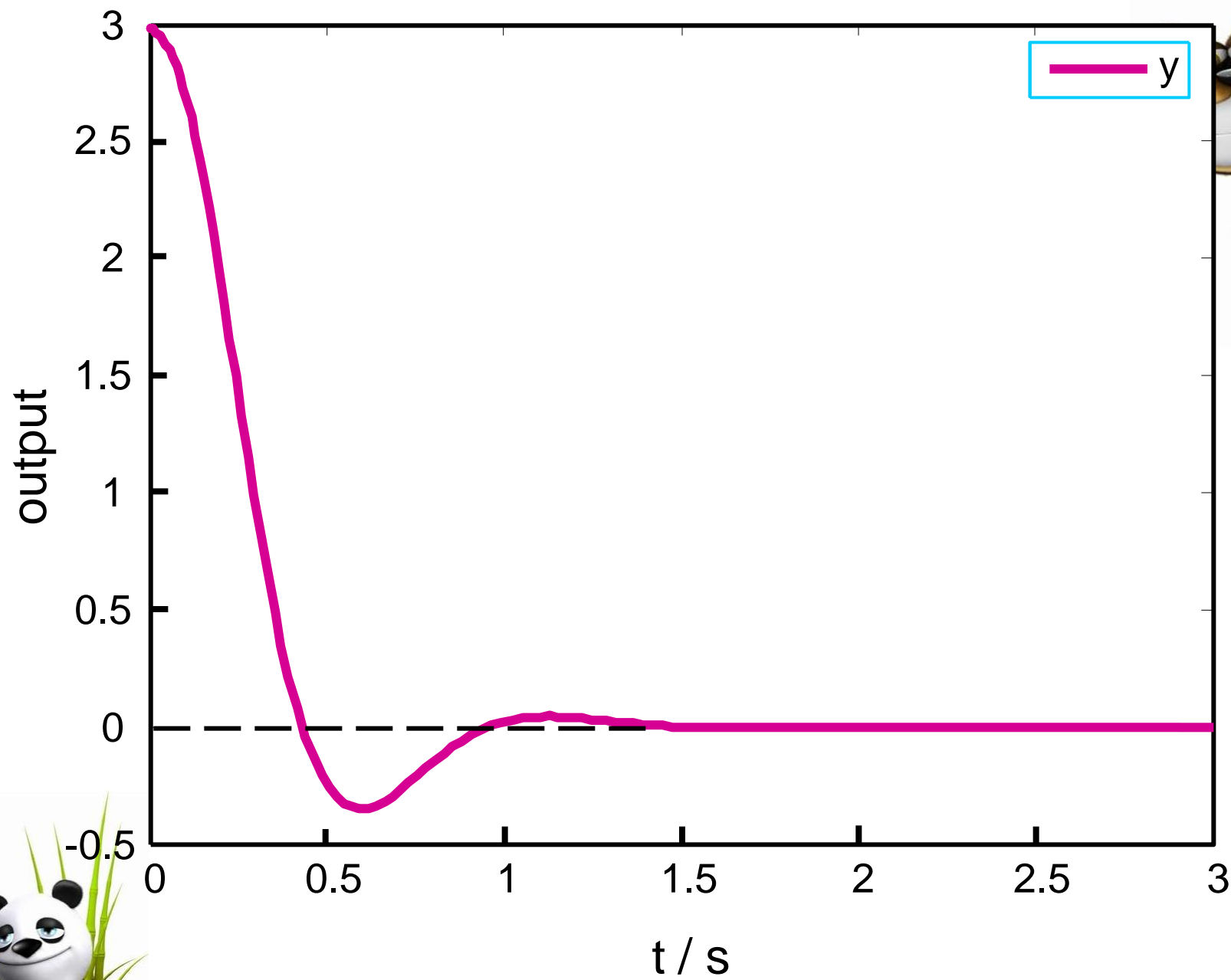
$$\hat{x}_1(0) = -6.5$$

$$\hat{x}_2(0) = -0.4$$

仿真结果如下：







【例9-15】已知系统的状态空间表达式

$$\begin{cases} \dot{\mathbf{x}} = \begin{bmatrix} -2 & 1 \\ 0 & 1 \end{bmatrix} \mathbf{x} + \begin{bmatrix} 0 \\ 1 \end{bmatrix} u \\ y = \begin{bmatrix} 1 & 0 \end{bmatrix} \mathbf{x} \end{cases}$$

假定该系统的两个状态在物理上不可测量，试设计状态反馈控制律及状态观测器，使得闭环系统的极点为-2，-3，观测器的极点为-4，-5。并对闭环系统进行数字仿真。



【解】

$$A = \begin{bmatrix} -2 & 1 \\ 0 & 1 \end{bmatrix}$$

$$c = [1 \quad 0]$$

$$b = \begin{bmatrix} 0 \\ 1 \end{bmatrix}$$



检验能控、能观性：

$$Q_c = \begin{bmatrix} 0 & 1 \\ 1 & 1 \end{bmatrix}$$

$$\text{rank} Q_c = 2$$

$$Q_o = \begin{bmatrix} 1 & 0 \\ -2 & 1 \end{bmatrix}$$

$$\text{rank} Q_o = 2$$

系统的状态完全能控、能观。

假设状态反馈增益矩阵为

$$\mathbf{K} = [k_1 \quad k_2]$$

则闭环系统的系统矩阵为

$$\mathbf{A} + \mathbf{b}\mathbf{K} = \begin{bmatrix} -2 & 1 \\ 0 & 1 \end{bmatrix} + \begin{bmatrix} 0 \\ 1 \end{bmatrix} [k_1 \quad k_2]$$

$$= \begin{bmatrix} -2 & 1 \\ k_1 & k_2 + 1 \end{bmatrix}$$



闭环系统的特征多项式为

$$\det[\lambda \mathbf{I} - (\mathbf{A} + \mathbf{bK})]$$

$$= \det \left\{ \begin{bmatrix} \lambda & 0 \\ 0 & \lambda \end{bmatrix} - \begin{bmatrix} -2 & 1 \\ k_1 & k_2 + 1 \end{bmatrix} \right\}$$

$$= \begin{vmatrix} \lambda + 2 & -1 \\ -k_1 & \lambda - k_2 - 1 \end{vmatrix}$$

$$= \lambda^2 + (1 - k_2)\lambda - k_1 - 2k_2 - 2$$



闭环系统的期望特征多项式为

$$(\lambda + 2)(\lambda + 3) = \lambda^2 + 5\lambda + 6$$

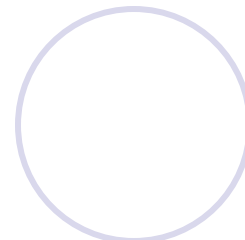
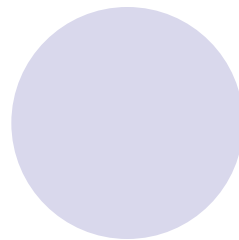
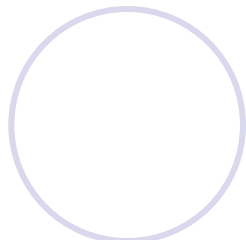
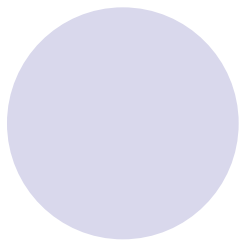
比较两个多项式得

$$\begin{cases} 1 - k_2 = 5 \\ -k_1 - 2k_2 - 2 = 6 \end{cases}$$

解得

$$\begin{cases} k_1 = 0 \\ k_2 = -4 \end{cases}$$





于是状态反馈增益矩阵为

$$\mathbf{K} = [0 \quad -4]$$

理论上，状态反馈控制律为

$$u = \mathbf{K}\mathbf{x} = -4x_2$$



构造全维状态观测器

$$\dot{\hat{\mathbf{x}}} = (\mathbf{A} - \mathbf{L}\mathbf{c})\hat{\mathbf{x}} + \mathbf{b}u + \mathbf{L}y$$

假设状态观测器增益矩阵为

$$\mathbf{L} = \begin{bmatrix} l_1 \\ l_2 \end{bmatrix}$$

状态观测器的系统矩阵为

$$\mathbf{A} - \mathbf{L}\mathbf{c} = \begin{bmatrix} -2 & 1 \\ 0 & 1 \end{bmatrix} - \begin{bmatrix} l_1 \\ l_2 \end{bmatrix} \begin{bmatrix} 1 & 0 \end{bmatrix} = \begin{bmatrix} -2 - l_1 & 1 \\ -l_2 & 1 \end{bmatrix}$$



状态观测器特征多项式为

$$\det[\lambda I - (A - Lc)]$$

$$= \det \left\{ \begin{bmatrix} \lambda & 0 \\ 0 & \lambda \end{bmatrix} - \begin{bmatrix} -2 - l_1 & 1 \\ -l_2 & 1 \end{bmatrix} \right\}$$

$$= \begin{vmatrix} \lambda + 2 + l_1 & -1 \\ l_2 & \lambda - 1 \end{vmatrix}$$

$$= \lambda^2 + (l_1 + 1)\lambda + l_2 - l_1 - 2$$



观测器的期望特征多项式为

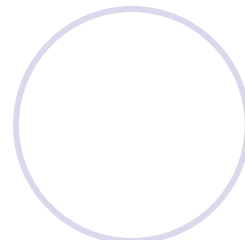
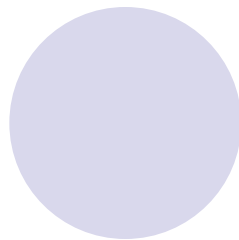
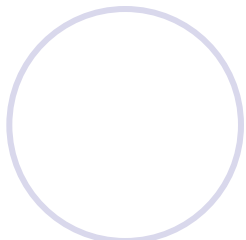
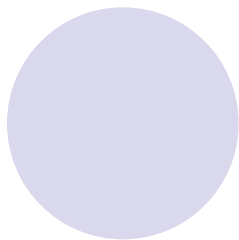
$$(\lambda + 4)(\lambda + 5) = \lambda^2 + 9\lambda + 20$$

比较两个多项式得

$$\begin{cases} l_1 + 1 = 9 \\ l_2 - l_1 - 2 = 20 \end{cases}$$

$$\begin{cases} l_1 = 8 \\ l_2 = 30 \end{cases}$$





状态观测器增益矩阵为

$$\mathbf{L} = \begin{bmatrix} 8 \\ 30 \end{bmatrix}$$

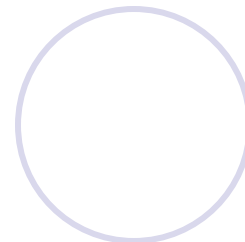
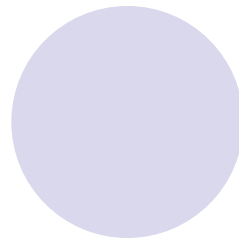
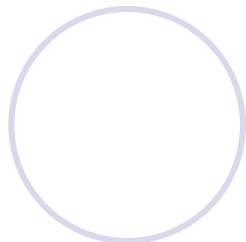
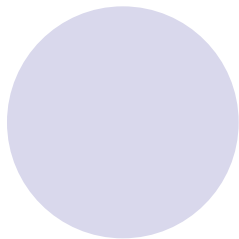
于是全维状态观测器方程为

$$\dot{\hat{\mathbf{x}}} = (\mathbf{A} - \mathbf{L}\mathbf{c})\hat{\mathbf{x}} + \mathbf{b}u + \mathbf{L}y$$

$$\dot{\hat{\mathbf{x}}} = \begin{bmatrix} -10 & 1 \\ -30 & 1 \end{bmatrix} \hat{\mathbf{x}} + \begin{bmatrix} 0 \\ 1 \end{bmatrix} u + \begin{bmatrix} 8 \\ 30 \end{bmatrix} y$$

$$\begin{cases} \dot{\hat{x}}_1 = -10\hat{x}_1 + \hat{x}_2 + 8y \\ \dot{\hat{x}}_2 = -30\hat{x}_1 + \hat{x}_2 + u + 30y \end{cases}$$





实际上，状态反馈控制律为

$$u = -4\hat{x}_2$$



带有观测器的闭环系统状态空间表达式为

$$\dot{x}_1 = -2x_1 + x_2$$

$$\dot{x}_2 = x_2 + u$$

$$y = x_1$$

$$\dot{\hat{x}}_1 = -10\hat{x}_1 + \hat{x}_2 + 8y$$

$$\dot{\hat{x}}_2 = -30\hat{x}_1 + \hat{x}_2 + u + 30y$$

$$u = -4\hat{x}_2$$



闭环系统的数字仿真

假定原系统的初始状态为

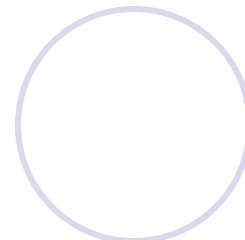
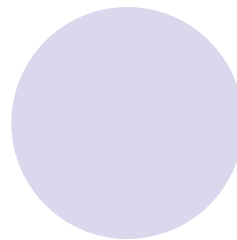
$$x_1(0) = -3$$

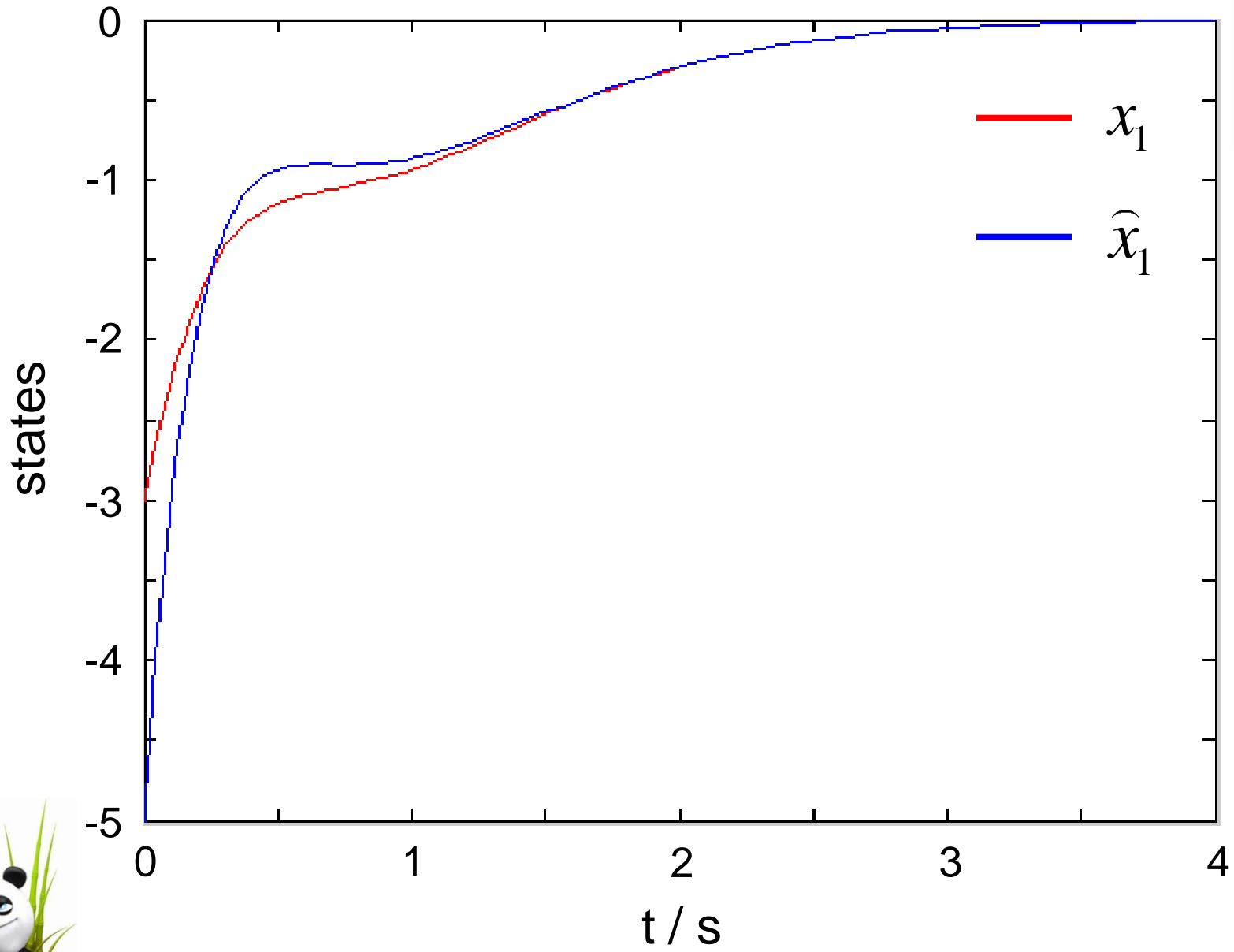
$$x_2(0) = 2$$

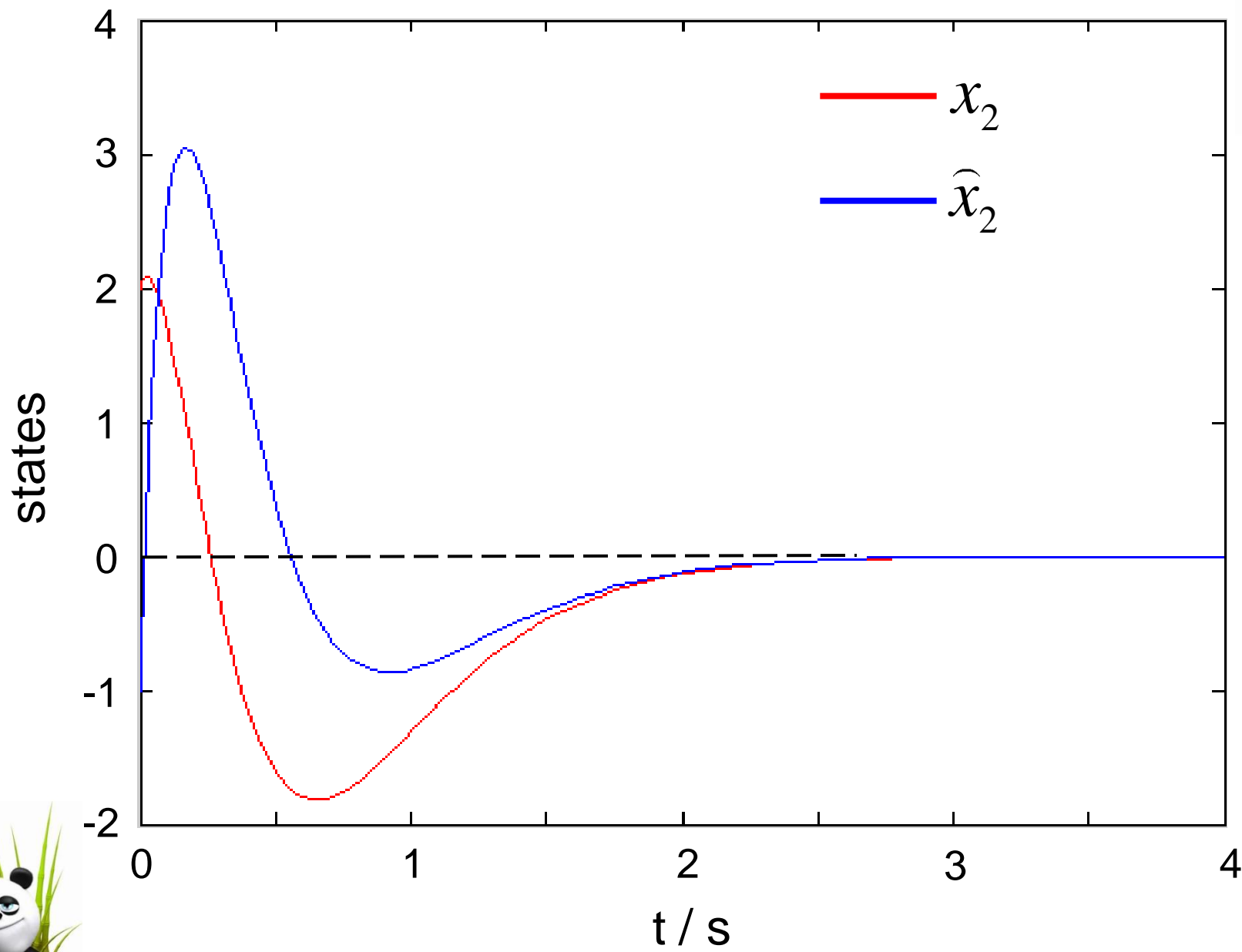
假定状态观测器的初始状态为

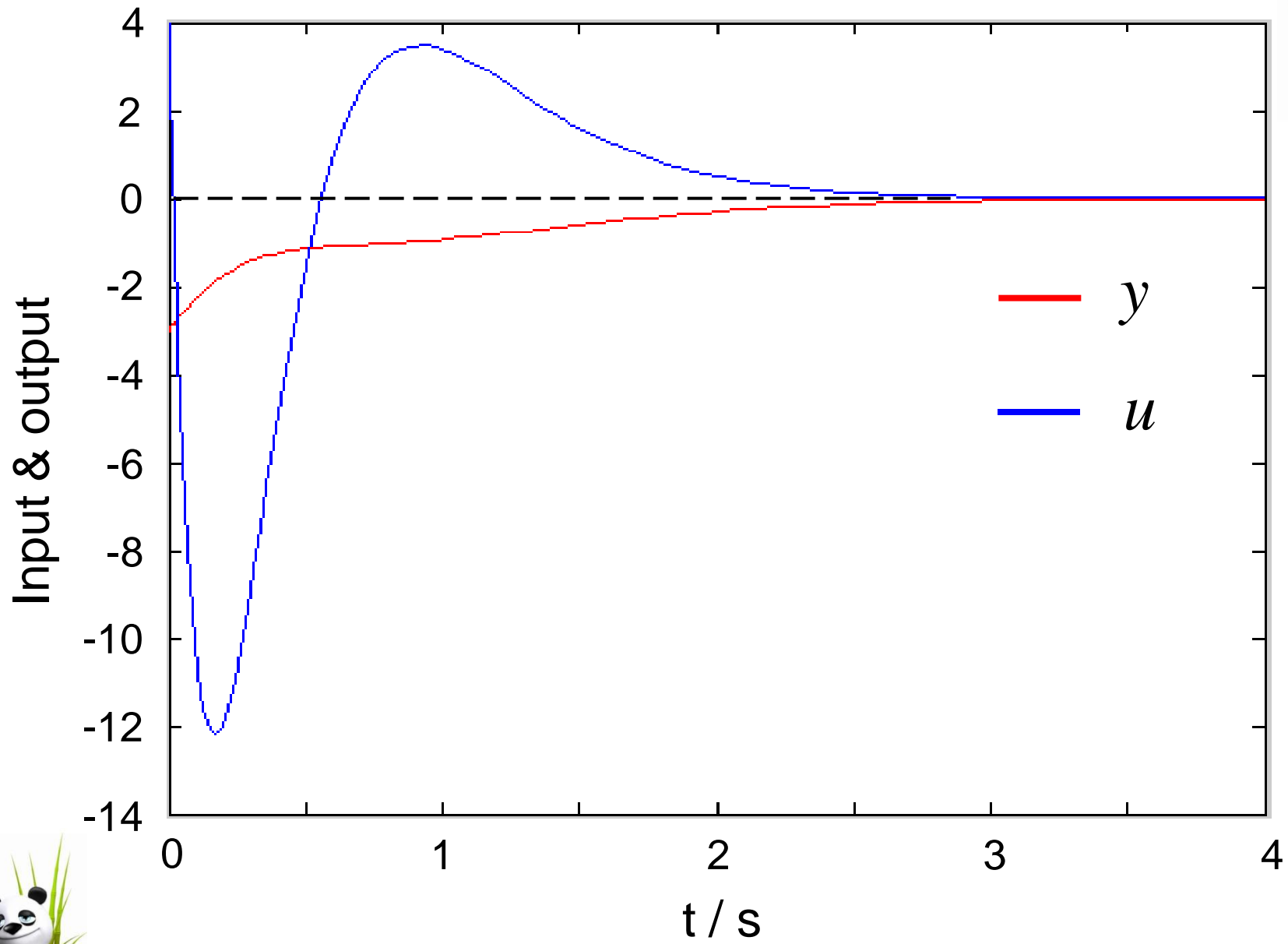
$$\hat{x}_1(0) = -5$$

$$\hat{x}_2(0) = -1$$

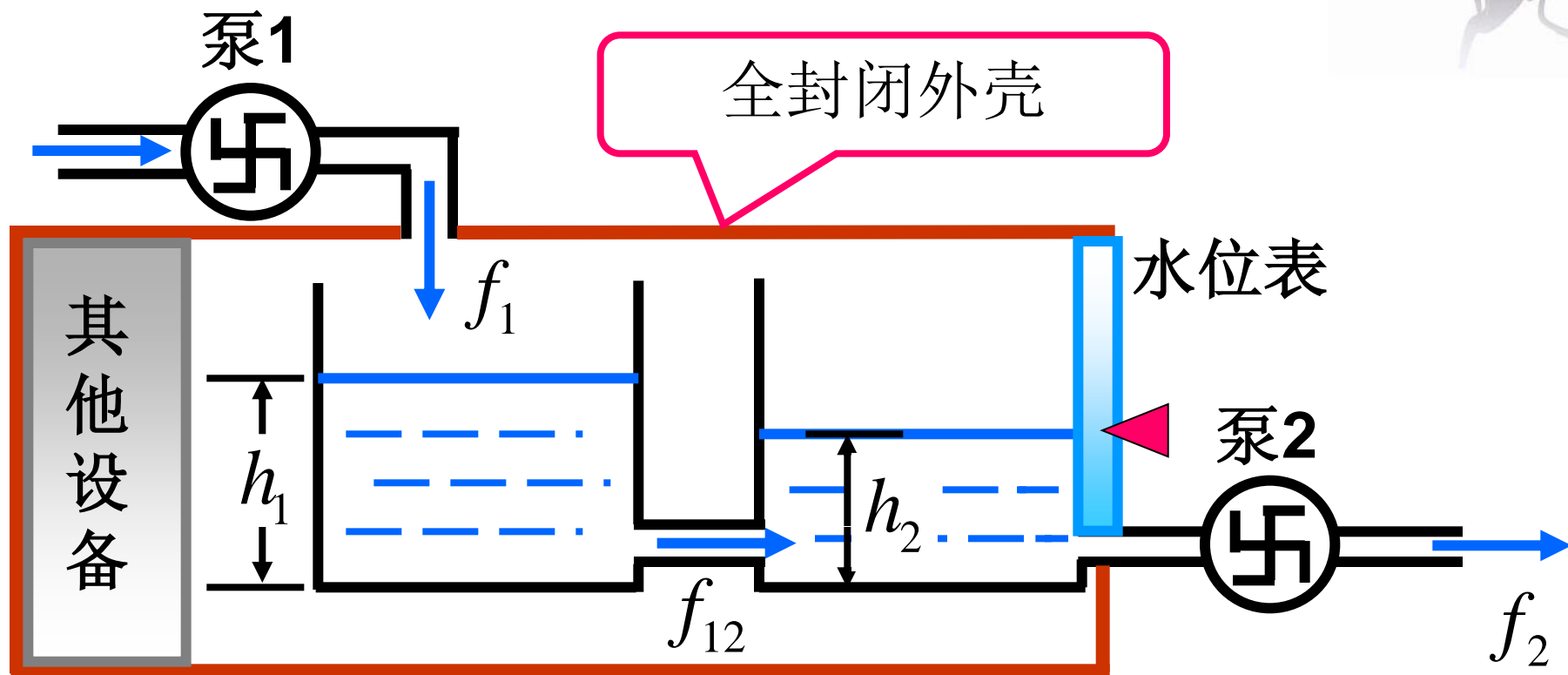








【例9-16】考虑双容水箱的水位调节系统。



偏差状态空间开环模型:

$$\begin{cases} \begin{bmatrix} \dot{x}_1 \\ \dot{x}_2 \end{bmatrix} = \begin{bmatrix} -a & a \\ a & -a \end{bmatrix} \begin{bmatrix} x_1 \\ x_2 \end{bmatrix} + \begin{bmatrix} u_1 \\ u_2 \end{bmatrix} \\ y = \begin{bmatrix} 0 & 1 \end{bmatrix} \begin{bmatrix} x_1 \\ x_2 \end{bmatrix} \end{cases}$$



降维状态观测器:

$$\dot{z} = -a(1+L)z + a(1-L^2)y + u_1 - Lu_2$$

状态估计的构成:

$$\hat{x}_1 = z + Ly$$



假设状态反馈控制律为：

$$\begin{bmatrix} u_1 \\ u_2 \end{bmatrix} = \begin{bmatrix} k_{11} & k_{12} \\ k_{21} & k_{22} \end{bmatrix} \begin{bmatrix} x_1 \\ x_2 \end{bmatrix}$$

闭环系统的状态方程为：

$$\begin{bmatrix} \dot{x}_1 \\ \dot{x}_2 \end{bmatrix} = \begin{bmatrix} k_{11} - a & k_{12} + a \\ k_{21} + a & k_{22} - a \end{bmatrix} \begin{bmatrix} x_1 \\ x_2 \end{bmatrix}$$

闭环系统的特征多项式为：

$$\begin{aligned} \varphi(\lambda) = & \lambda^2 + (2a - k_{11} - k_{22})\lambda \\ & - (k_{11} + k_{22} + k_{12} + k_{21})a + k_{11}k_{22} - k_{12}k_{21} \end{aligned}$$



假设期望闭环系统的极点为：

$$\lambda_1 = -5 + 5j \quad \lambda_2 = -5 - 5j$$

期望闭环特征多项式为：

$$\varphi^*(\lambda) = \lambda^2 + 10\lambda + 50$$

比较上述两个特征多项式，可得：

$$\begin{cases} 2a - k_{11} - k_{22} = 10 \\ -(k_{11} + k_{22} + k_{12} + k_{21})a + k_{11}k_{22} - k_{12}k_{21} = 50 \end{cases}$$



上述方程组是一组不定方程，特取

$$k_{12} = k_{21} = 0$$

则上述方程组可以化简为：

$$\begin{cases} k_{11} + k_{22} = 2a - 10 \\ k_{11}k_{22} = 2a^2 - 10a + 50 \end{cases}$$

它同解于关于 w 的一元二次方程

$$w^2 + (10 - 2a)w + 2a^2 - 10a + 50 = 0$$

其根的判别式为： $\Delta = -4a^2 - 100 < 0$

说明不存在 k_{11} 和 k_{22} 的实数解。



由上述分析可知，反馈增益矩阵不能取
对角矩阵。



假设下列实际参数：

两个水箱的水位标称偏差： $H = 0.3\text{m}$

每个水箱的内部横截面积： $A = 1\text{m}^2$

重力加速度： $g = 9.8\text{m/s}^2$

则有
$$a = \frac{\sqrt{2gH}}{2AH} = 4.04 \approx 4$$



将实际参数代入，可得代数方程组为：

$$\begin{cases} k_{11} + k_{22} = -2 \\ k_{11}k_{22} - k_{12}k_{21} - 4(k_{12} + k_{21}) = 42 \end{cases}$$

特取 $k_{11} = k_{22} = -1$ ， $k_{12} = 2$ ，可得： $k_{21} = -\frac{49}{6}$

得出状态反馈增益矩阵为：

$$K = \begin{bmatrix} k_{11} & k_{12} \\ k_{21} & k_{22} \end{bmatrix} = \begin{bmatrix} -1 & 2 \\ -\frac{49}{6} & -1 \end{bmatrix}$$



实际的状态反馈控制律为：

$$\begin{bmatrix} u_1 \\ u_2 \end{bmatrix} = \begin{bmatrix} k_{11} & k_{12} \\ k_{21} & k_{22} \end{bmatrix} \begin{bmatrix} \hat{x}_1 \\ x_2 \end{bmatrix} = \begin{bmatrix} -1 & 2 \\ -\frac{49}{6} & -1 \end{bmatrix} \begin{bmatrix} \hat{x}_1 \\ x_2 \end{bmatrix}$$

写成分量形式为：

$$\hat{x}_1 = z + Ly$$

$$u_1 = -\hat{x}_1 + 2x_2$$

$$u_2 = -\frac{49}{6}\hat{x}_1 - x_2$$

$$y = x_2$$

$$\begin{aligned} u_1 &= -(z + Ly) + 2y \\ u_2 &= -\frac{49}{6}(z + Ly) - y \end{aligned}$$



下面对降维状态观测器进行极点配置：

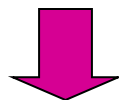
$$\dot{z} = -a(1+L)z + a(1-L^2)y + u_1 - Lu_2$$

$$a = 4 \longrightarrow \downarrow$$

$$\dot{z} = -4(1+L)z + 4(1-L^2)y + u_1 - Lu_2$$

取降维状态观测器极点为

$$\lambda = -4(1+L) = -2$$



$$L = -0.5$$



得出降维状态观测器方程：

$$\dot{z} = -4(1+L)z + 4(1-L^2)y + u_1 - Lu_2$$

$$L = -0.5 \longrightarrow \downarrow$$

$$\dot{z} = -2z + 3y + u_1 + 0.5u_2$$



实际的状态反馈控制律为：

$$u_1 = -(z + Ly) + 2y$$

$$u_2 = -\frac{49}{6}(z + Ly) - y$$

$$L = -0.5 \rightarrow \downarrow$$

$$u_1 = -z + 2.5y$$

$$u_2 = -\frac{49}{6}z + \frac{37}{12}y$$



写出完整的闭环系统方程：

$$\dot{x}_1 = -4x_1 + 4x_2 + u_1$$

$$\dot{x}_2 = 4x_1 - 4x_2 + u_2$$

$$y = x_2$$

$$\dot{z} = -2z + 3y + u_1 + 0.5u_2$$

$$u_1 = -z + 2.5y$$

$$u_2 = -\frac{49}{6}z + \frac{37}{12}y$$



数字仿真研究

不妨给定下列初始条件（初始水位偏差）

$$x_1(0) = -0.2$$

$$x_2(0) = 0.18$$

$$z(0) = 0.15$$

编写两个MATLAB的M文件



文件simu051.m

```
function dx = simu051(t,x)
y = x(2);
z = x(3);
u1 = -z + 2.5*y;
u2 = (-49/6)*z + (37/12)*y;

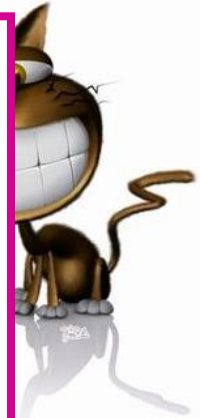
dx(1) = -4*x(1) + 4*x(2) + u1;
dx(2) = 4*x(1) - 4*x(2) + u2;
dx(3) = -2*x(3) + 3*y + u1 + 0.5*u2;

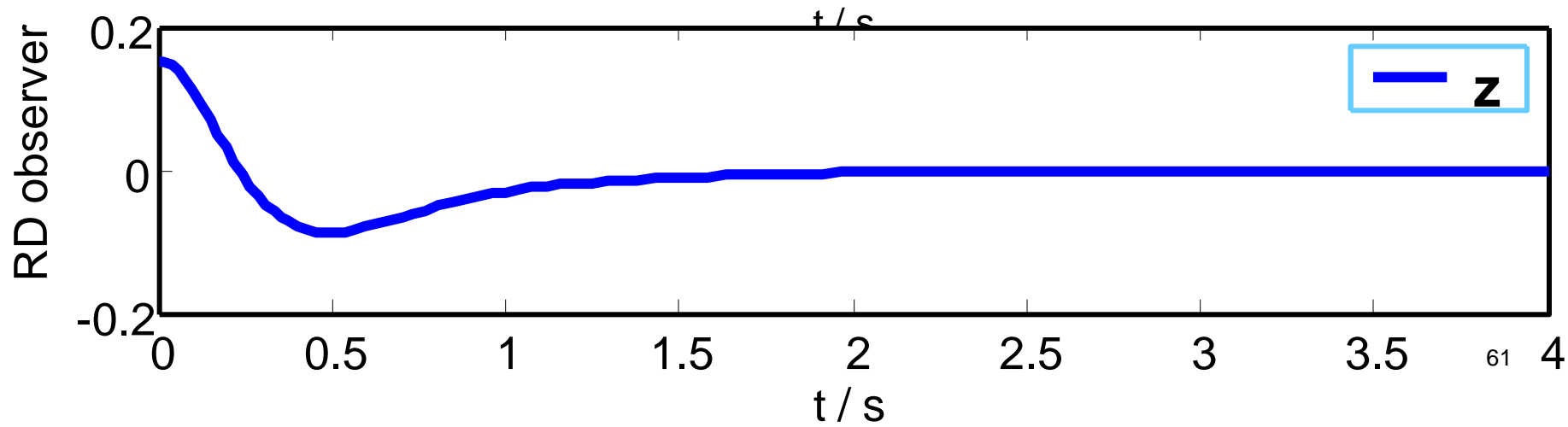
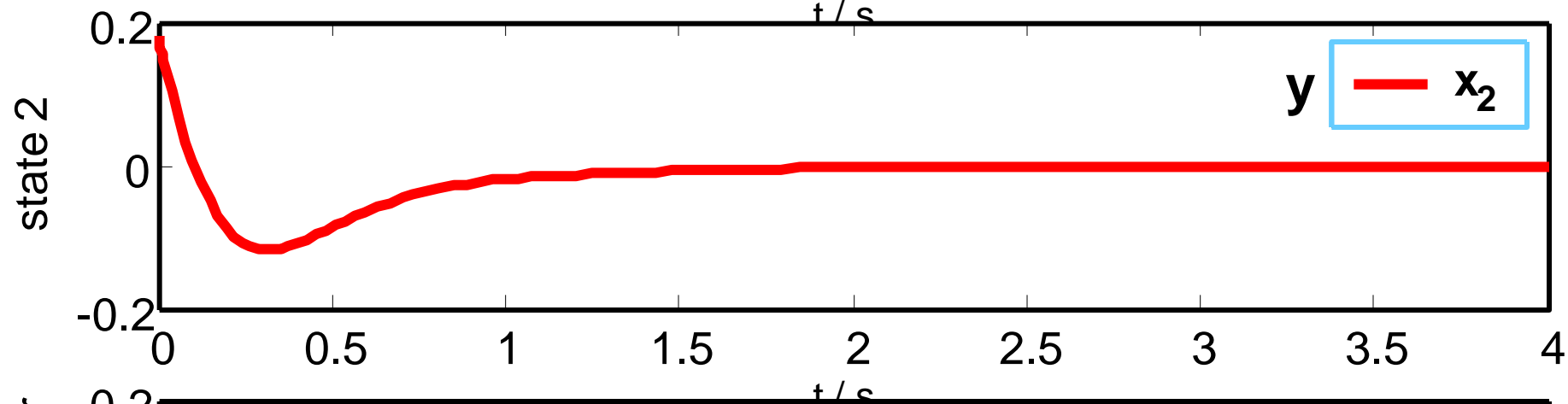
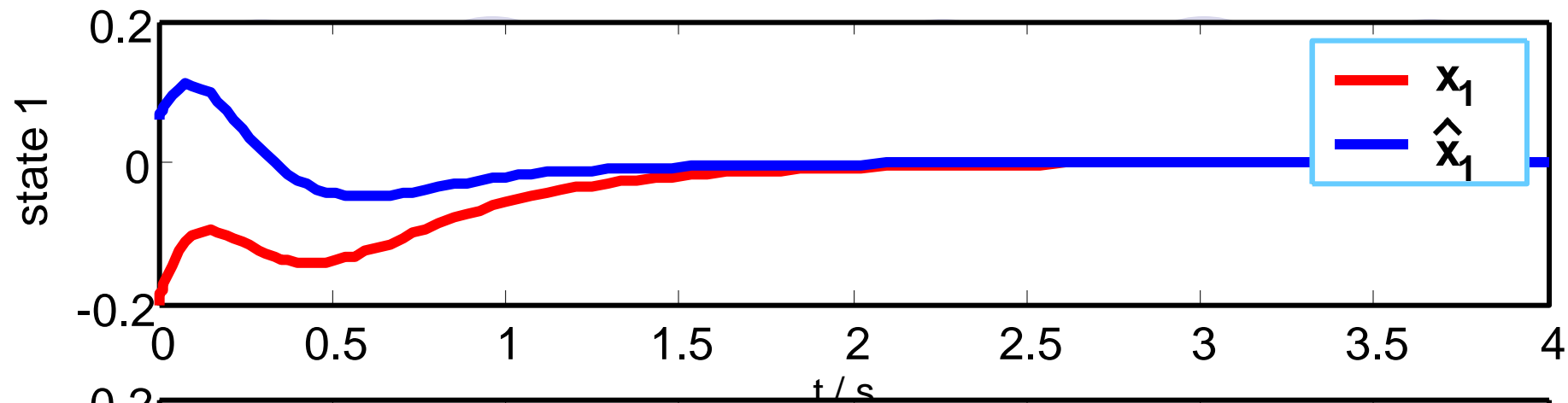
dx = dx';
```



```
[t, x] = ode45( 'simu051', [0,4], [-0.2,0.18,0.15] );  
subplot ( 3, 1, 1 );  
plot( t, x(:,1), 'r-' );  
hold on;  
plot( t, x(:,3) - 0.5*x(:,2), 'b-' );  
legend( 'x_1', 'x_1_o' );  
xlabel( 't / s' );  
ylabel( 'state 1' );  
subplot( 3, 1, 2 );  
plot( t, x(:,2), 'r-' );  
legend( 'x_2' );  
xlabel( 't / s' );  
ylabel( 'state 2' );  
subplot( 3, 1, 3 );  
plot( t, x(:,3), 'b-' );  
legend( 'z' );  
xlabel( 't / s' );  
ylabel( 'RD observer' );
```

文件do_simu051.m





本次课内容总结



- 带观测器的状态反馈系统的结构；
- 带观测器的闭环系统的基本特性；
- 带观测器的闭环系统设计举例。

